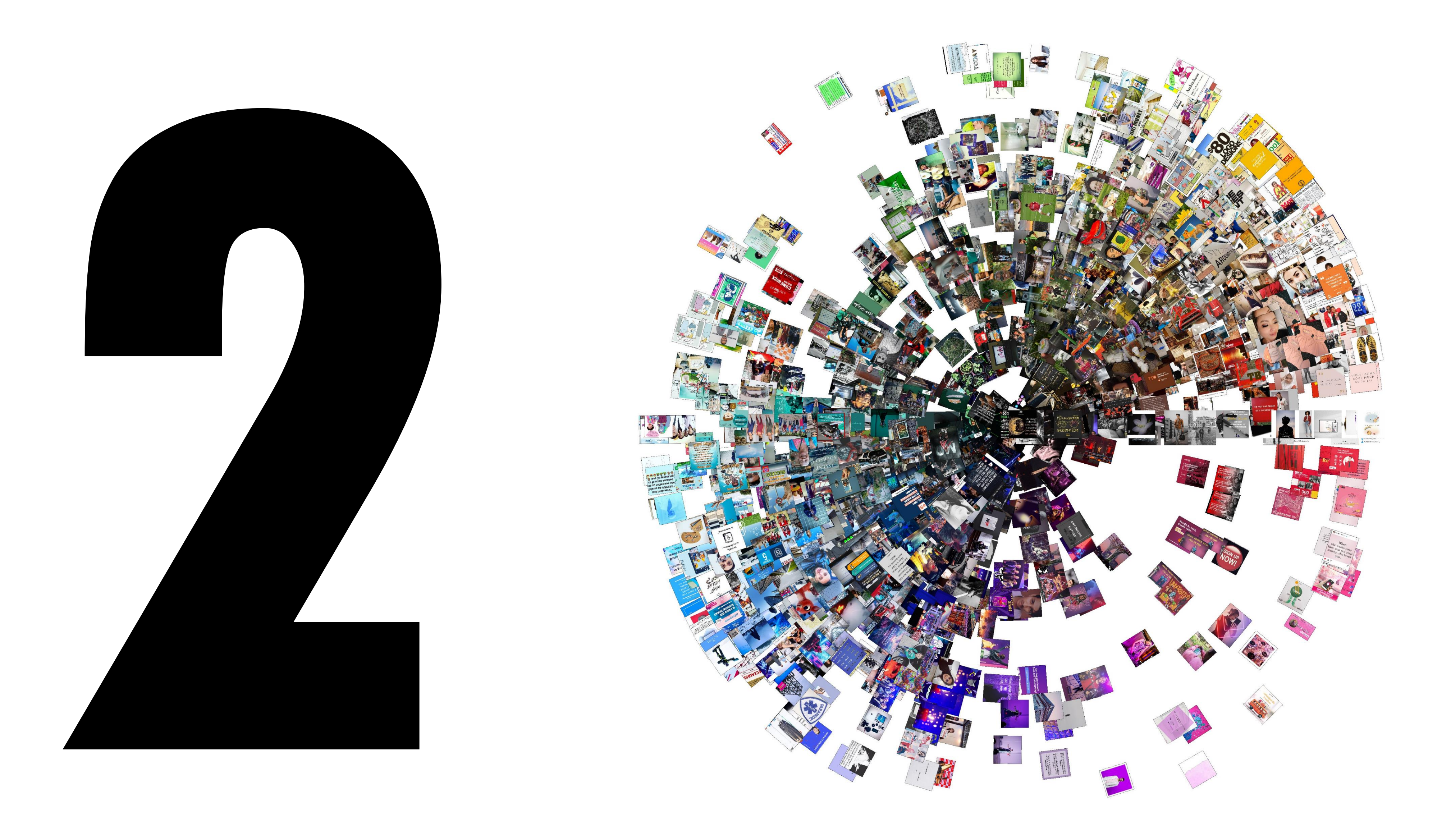
## The Defining Decade

## The Defining Decade





title: "Schauplätze des Globalen Wandels" knitr::opts\_chunk\$set(echo = TRUE) Hintergrund u. Stand d. Forschung Dem Menschen erschließt sich durch sein Bewusstsein ein reflektiertes Verhältnis zu sich selbst und eine zeitliche Dimension des Daseins, wodurch sich die eigene Existenz betreffende Fragen, wie zum Dieses Macro misst ausgewählte Statistiken und Daten jeder Bilddatei im Zielordner: Helligkeit (Durchschnitt u. SD), Farbton (Durchschnitt u. SD), Sättigung eispiel nach bestimmten moralischen Grundsätzen des Zusammenlebens oder der Stellung des Menschen in der Natur, ergeben<sup>1</sup>. Die Anwendung des rationalen und wissenschaftlichen Denkens 🖫 stammt aus dem Zeitalter der Aufklärung, als materielle Beweise, Objektivität und der Erwerb von Wissen zur Suche nach einer allumfassenden Wahrheit wissenschaftliche Bemühungen förderte. Die 🗓 dir = getDirectory("Choose images folder to be measured"); Grundlagen für den frühzeitlichen Rationalismus formulierte René Descartes mit seinem berühmten Dictum "Ich denke, also bin ich" in seinem Werk Meditationes de prima philosophia (1641)<sup>2</sup>. Mit der Vernunft als universelle Urteilsinstanz fand eine Hinwendung zu den Naturwissenschaften statt, die sich langsam und unter heftigen Auseinandersetzungen im 16. und 17. Jahrhundert entfaltete. Auf savedir = getDirectory("Choose folder to save output file measurements.txt"); f = File.open(savedir +"measurements.txt"); rancis Bacons wissenschaftlichen Erkenntnissen aufbauend, beeinflusste John Locke als einer der Urväter des Empirismus weit über die Wissenschaft hinaus Bereiche der Epistemologie und politischen Philosophie die Gesellschaft<sup>3</sup>. Seine aufklärerischen Gedanken zur Philosophie des Geistes zeigen den Ursprung moderner Konzepte der Identität und des Seins, womit er spätere 🥌 print(f. "filename" + "\t" + "imageID" + "\t" + "brightness median" + "\t" + "brightness\_stdev" + "\t" + "saturation\_median" + "\t" + "saturation\_stdev" + "\t" + Philosophen wie David Hume, Rousseau, Voltaire und Kant, stark beeinflusste<sup>4</sup>. Neue Grundlagen der Philosophie verband Immanuel Kant mit seinem Vorschlag der Transzendentalphilosophie und "hue median" + "\t" +"hue stdev" + "\n"); setBatchMode(true); orägte die urteilstheoretischen Bedeutungen a priori und a posteriori Mitte des 17. Jahrhunderts<sup>5</sup>. Vorstellungen wissenschaftlicher Praktiken und die akademische Disziplin der Wissenschaft 349 unterliegen seitdem immer wieder Paradigmenwechsel, da Beschreibungen eines Sachverhalts, die als Wissen deklariert werden, paradoxerweise vollständig oder unvollständig, wahr oder falsch sein können<sup>6</sup>. In einer polarisierenden Gesellschaft die sich immer stärker globalisiert und dabei seine Umwelt immer massiver verändert, rücken scheinbar vergebene Determinanten der eigenen Identität 55  $image_ID = i + 1$ durch das Hinterfragen einer positivistischen Epistemologie in den Vordergrund. Mit der Zuwendung zum Diskurs, in der Fakten und Wahrheiten sozial artikuliert werden, schiebt sich bezüglich unseres 357 print(image\_ID + "/" + list.length + "\t" + list[i]); Forschungskontextes der Fokus auf Eigenschaften, die durch verschiedene Ansätze ontologisch und epistemologisch emergente materielle und immaterielle Strukturen und Systeme betrachtet. Die 🚟 Wissenschaft diskutiert darin selbst ihre vielfältigen, intersubjektiven Positionen zwischen Kultur und Natur im Nexus einer Machtdimension. Mein persönlich aktuell vorliegendes Verständnis von transdisziplinären und integrativen Wechselwirkungen von Natur- und Sozialwissenschaften folgt daher poststrukturalistisch geprägten Ansätzen. brightness\_median= getResult("Median") Es soll nicht die eine Wahrheit artikuliert werden, die ohnehin abgelehnt wird, sondern vielmehr eine Hinwendung zum Diskurs stattfinden, in der Entwicklungen und Prozesse raumzeitlich verstanden brightness\_stdev = getResult("StdDev"); erden und in einen alltäglichen Kontext eingebettet werden. Der theoretische und empirische Rahmen fügt sich hierbei aus konstruktivistischer Perspektive individuell aus scheinbar belanglosen ischeinbar belanglosen ische Alltagserscheinungen zusammen, die sich im sozialwissenschaftlichen Gegenstandsbereich aus *clustern* des sozialen und kulturellen Lebens zusammensetzen und immer von Symbolen und 🔀 saturation median = getResult("Median") Interpretationen durchsetzt sind. Poststrukturalistische und konstruktivistische Ströme, auf die ein wertbasierter Ansatz aufbaut, sind Teil der Entwicklungen in den Sozial- und Geisteswissenschaften der zweiten Hälfte des 20. Jahrhunderts, dem cultural turn<sup>7</sup>. Mit dem Aufkommen der Kulturwissenschaft und einem wachsenden Einfluss der Kultursoziologie bedeutet der cultural turn im Zusammenhang für den theoretischen Rahmen vor allem eine Wende zu einem erweiterten Kulturverständnis, das hervorgebrachte Werte reflektiert und in Frage stellt. hue stdev = aetResult("StdDev"); So inhomogen und vielfältig die Sozialwissenschaften und Geisteswissenschaften auch sind, gemeinsam ist ihnen, dass es sich bei den Forschungsobjekten immer um Subjekte handelt, die in und mit dieser Welt agieren. Aus Perspektive des Konstruktivismus ist die Erkenntnis damit eng an persönliche Eigenschaften und Fähigkeiten gebunden, Phänomene und Prozesse zu erkennen und zu 🚆 beschreiben und wird durch die Subjektivität des Einzelnen beim Vorgang des Erkennens konstruiert<sup>8</sup>. print(f, list[i] + "\t" + image\_ID + "\t" + brightness\_median + "\t" + brightness\_stdev + "\t" + saturation\_median + "\t" + saturation\_stdev + "\t" + hue\_median + "\t" + ## Visualisierung der Bildkollektion in Kreisform mit ausgewählten Variablen auf (x) Achse u. (y) Achse nnerhalb des Moduls wurde die Perspektive eines values-based approach nach O'Brien und Wolf (2010)9 eingenommen. Der Begriff Wert erfährt innerhalb der Wissenschaft keine einheitliche 🗓 Definition, hat grundsätzliche unterschiedliche Bedeutungen und trägt auf verschiedene Weise zur fachlichen Diskussion bei. Die Menge an Literatur, die zu und um Werte aktuell generiert wurde, stellt 🖫 80.3284 print(" map y axis: "+xmin+" "+ymin+" "+xmin+" "+ymax); ln\_origin = split(plot\_xy(xmin, ymin, i), ""); x0 = ln\_origin[0]; einen riesigen Literaturkanon dar. In\_origin2 = split(plot\_xy(xmin, ymax, i), ""); Das amerikanische Getty Conservation Institute erstellte eine Reihe von Forschungsberichten, die, vor dem Hintergrund eines wertbasierten Ansatzes zur Erhaltung von kulturellen Gütern, diesen 🗓 Ansatz stärker definieren sollten<sup>10</sup>. Diese Berichte zeigten dabei grundsätzlich die Notwendigkeit die vielzähligen Interessengruppen bei Entscheidungsfindung mit Hilfe eines wertbasierten Ansatzes mit 🗓 einzubeziehen. Gleichzeitig wurde ein Mangel an kohärenter Methodik zur Einschätzung von Werten erkannt und kritisiert<sup>11</sup>. Die Integration von Kontextwissen und Input der betroffenen Interessen wird als der zentrale Kern bei Entscheidungsansätzen, die auf einem wertbasierten Ansatz basieren, beschrieben<sup>12</sup>. Kommentare und Kritiken von Pye (2001)<sup>13</sup> und de la Torre et al<sup>14</sup> knüpfen an h veiterhin aktuelle Debatten an, die sich mit den Grenzen von Wahrheit und Fakten auseinandersetzen und fordern eine stärkere theoretische Grundlage auf, die eine kontinuierliche kritische Reflexion ੌं ufbauen kann. Die Perspektive steht unter dem aktuellen Diskurs eines theoretischen Umschwungs von einem materialbasierten zu einem wertbasierten Ansatz, der ein verstärktes kritisches Denken 109 186 132 print(" map x axis: "+xmin+" "+ymin+" "+xmin+" "+ymax); In\_origin = split(plot\_xy(xmin, ymin, i), "") 370291386828925005\_london.jp mit sich bringt. Es gibt eine zunehmende Hinwendung zu unterschiedlichen Interpretationen und die Einbeziehung verschiedener Interessengruppen in die Entscheidungsfindung 1516. In diesem noch 311 154 80.2616 107 60.8248 24 62.8779 38.4486 39 53.5207 8.0713 plot\_xy returns a string of delimited values jungen Forschungsgebiet entwickeln sich daher weiterhin theoretische Rahmenbedingungen und empirische Ansätze zur Messung menschlicher Werte. 104.2834 In\_origin2 = split(plot\_xy(xmax, ymin, i), ""); 104.2834 plot\_xy returns a string of delimited values 37030227150401611\_london.jp zu einem Handelsobjekt verstanden. In seiner weiteren Bedeutung bezeichnet Wert die Bedeutung oder Wichtigkeit einer Sache, einer Person, eines Umstandes etc<sup>17</sup>. Die Werte sind dabei immer drawLine(x0, y0, x1, y1); //// print("draw x axis: "+x0+" "+y0+" 37031444875030090\_london.jp der Individuen ab. Deshalb können sich Werthaltungen je nach Person und auch Personengruppe unterscheiden. Dies führt zu einem Wertepluralismus. 925 224 70.8554 24 43.0093 142 37031469084006651\_london.jp are vielzahl an Studien befassen sich mit monetären und quantifizierbaren Werten Werten werden innerliche 15/21 15/2 und subjektive Dimensionen von Anpassungen repräsentiert, die schwer zu messen sind<sup>19</sup>. Dies wiederum ist geprägt von den tiefliegenden Werten der Individuen<sup>20</sup>. Da dies von Mensch zu Mensch <sup>19</sup> 30 <sup>54.7055</sup> if (y\_fixed\_flag == 0) { unterschiedlich ist, erkennt der Ansatz von O'Brien & Wolf (2010)<sup>21</sup> an, dass die Konzeptualisierung des "Erwünschten" unterschiedlich sein kann und dass Machtfragen beeinflussen, wessen Interessen 31 49 49 37031948063429255\_london.jp und Prioritäten verfolgt werden. Wenn Werte zueinander in Konflikt stehen, treten diese Werte ins Bewusstsein und werden als Leitprinzipien für das eigene Denken und Handeln herangezogen<sup>22</sup>. 78.7575 21 73.3025 170 Der Mensch ist in einer gesellschaftlichen Welt aus Zeichen eingebunden, die voll von Symbolen ist und uns die Welt auf eine individuelle Art verstehen lässt. Die Hermeneutik setzt hierbei gleichzeitig 340 42 62.1976 for (i = ymin; i < ymax; i = i + y\_label\_step) { 370331452535599326\_london.jp dabei hilft Untersuchungsgegenstände und beforschte Menschen im Netzwerk aus Beziehungen und Prozessen besser zu verstehen und zu kontextualisieren. Im selben Zug verstehe ich eine 15 10 200 46.1599 In\_origin = split(plot\_xy(xmin, i, dsi), ""); hermeneutische Verinnerlichung als eine Art Entität, die mich verstehen und reflektieren lässt, wie ich mich selbst nach außen verständlich machen kann. Inspiriert bin ich unter anderem von Karl 347 348 Poppers begründeter philosophischen Denkrichtung des Kritischen Rationalismus, der sich unter anderem mit der Frage auseinandersetzt, wie wissenschaftliche und gesellschaftliche Probleme 350 254 88.5454 0 7 untersucht und geklärt werden können. Popper selbst beschreibt den Kritischen Rationalismus als Lebenseinstellung, "die zugibt, dass ich mich irren kann, dass du recht haben kannst und dass wir 63.4231 drawString(float\_print(i, labels\_precision), x - x\_label\_offset, y); // draw axis label 37034131477457641\_london.jp zusammen vielleicht der Wahrheit auf die Spur kommen werden<sup>23</sup>. 955 143 47.8837 117 34.3987 223 46.5094 //// print("y\_label\_step:",y\_label\_step); Die Hermeneutik kann in einer breiten Interpretation darauf hinweisen, wie Verstehen und Interpretieren methodologisch stattfindet und in Bezug auf Popper (2003)<sup>24</sup> anregen, welche Probleme sich 156 149 45.9983 113 22.6345 231 65.0138 11 In\_origin = split(plot\_xy(xmin, ymax, dsi), ""); // plot\_xy returns a string of delimited values durch gewisse Prozesse und Grundannahmen dieses Verstehens äußern. Auf der Hand liegt ein sozial-konstruierter Machtanspruch der Wissenschaft. Eine scheinbare Validität und Gültigkeit die aus 158 85 85 meinen eigenen Erkenntnissen entstammt, sollte kritisch aufgefasst werden. drawLine( x + axis\_tick\_length, y + y\_label\_offset, x - axis\_tick\_length, y + y\_label\_offset); // draw axis 37035623156231562316001.jp Mitunter birgt Wissenschaft für die Menschen, die sich nicht ausgiebig damit beschäftigen Verständnisschwierigkeiten. Diesen hinderlichen Zugang machen theoretisch aufgeladene Begrifflichkeiten 73.985 if(label\_value > label\_last-(0.75\*y\_label\_step)) // smart ymax label drawString(float\_print(ymax,labels\_precision), x-x\_label\_offset, y+ y\_label\_offset); 37/035655812999285\_london,jp aus, die im Gewand alltäglicher Ausdrücke jedem begegnen. Die fachliche Bedeutung liegt hierbei in uns selbst konstruiert vor, muss sich allerdings in der Interaktion mit anderen durch Fragen des eigenen Verstehens und des eigenen Verstandenwerdens auseinandersetzen. Eine wirksame Verständigung durch eine allgemein zugängliche Verwendung von Semantik (Zeichen und Sprache) zählt in 167 203 28 diesem Zusammenhang für das Projekt zur unentbehrlichen Rahmenbedingung, weshalb das Plakat auch beidseitig bedruckt ist. 370 200 36.2175 136 57.7323 140 371 85 75.9734 96 54.2209 144  $^{37.2396}$  if (x\_labels\_flag == 1) 37036429444187078\_london.jp Ein bewusstes Bewusstsein des Erkennens und Verstehens darüber, dass es neben der eigenen Realität und dem eigenen Sein noch andere gleichwertige gibt, ist einer der Pfeiler eines wertbasierten Ansatzes. Im Alltag versteht man darunter das sich-in-einen-anderen-Hineinversetzen oder Empathie. Innerhalb eines wertbasierten Ansatzes geht es um das Erkennen, dass neben individuellen 374 Sachverhalten auch sehr viele allgemeingültige Gegebenheiten existieren. Damit wirft ein wertbasierter Ansatz häufig die Frage mit auf: Wer beschließt/determiniert in Entscheidungsprozesses, wessen 376 234 234 Werthaltungen berücksichtigt werden und wessen Werthaltungen nicht? label value = x axis\_start 380 153 66.5894 101 61.1489 40 78.9688 42 95.4927 0 65.5609 for (i = xmin; i < xmax; i = i + x\_label\_step) Haeffner, G. (2000): Philosophische Anthropologie. Stuttgart/ Berlin/ Köln 70.646 127 In\_origin = split(plot\_xy(i, ymin, 1), ""); 33.8302 0 •plot\_xy returns a string of delimited values x = ln\_origin[0]; 2) Zenker, Kay (1996): Denkfreiheit. Libertas philosophansi in der deutschen Aufklärung. Meiner Verlag. S. 43f 40.7084 36 3) Hirschmann, N. J. (2009): Gender, Class and Freedom in Modern Political Theory. Princeton University Press. Princeton. drawLine(x, y, x, y - axis\_tick\_length); 58.5616 18 drawString(float\_print(i, labels\_precision), x, y + y\_label\_offset); // draw axis label 4) Baird, F. E.; Kaufmann, W. (2008): From Plato to Derrida. New Jersey. S. 527-530 49.032 170 37038124890620302\_london.jp 5) Warburton, N. (2011): A little history of philosophy. Yale University. S. 134 58.4934 172 52.9991 if (label\_value != label\_last) 370383418215761555\_london.jp 6) Deleuze, G. (2002): How Do We Recognise Structuralism? in Desert Islands and Other Texts 1953-1974. Übersetzt v. David Lapoujade. Los Angeles and New York. S. 170-174 76.6165 In\_origin = split(plot\_xy(xmax, ymin, 1), ""); 00 69 70.5738 76 63.1275 146 70.8294 2020-02-05 10.38.56 2237036351612771957\_water.jpg 226 •plot\_xy returns a string of delimited values x = ln\_origin[0]; 01 74 57.5077 97 69.7338 117 69.9552 ) Bachmann-Medick, D. (2018): Cultural Turns. Neuorientierungen in den Kulturwissenschaften. 6. Auflage. Reinbek. 55.8037 drawLine(x, y + axis\_tick\_length, x, y - axis\_tick\_length) 37039001121141171 london.ii 2020-02-05 10.39.06 2237036429444187078 water.jpg229 2020-02-05 12.37.28 2237096015882981545 water.ipg1190 108 74.8082 81 50.0555 37 39.1186 2020-02-05 10.39.06 2237036429444222132\_water.jpg230 147 59.9216 •draw axis tick line 37039106810825071\_london.jp 8) Reich, K. (2012): Konstruktivistische Didaktik. Kuchterhand. Neuwied. S. 22ff 23,2578 162 85,5235 2020-02-05 12.37.31 2237096044706072058 water.jpg1191 )05 34 108.3659 240 120.352 164 82.7564 2020-02-05 10.39.06 2237036429452598658\_water.jpg231 31 37039272987568181\_london.jp 2020-02-05 12.37.39 2237096108751266827 water.jpg1192 21.2253 155 82.3958 2020-02-05 10.39.06 2237036437816146735\_water.jpg232 238 37.8704 if (label\_value > label\_last - (0.75 \* x\_label\_step)) 06 77 59.1937 139 41.8977 13 107.526 49.2994 20 73.3162 2020-02-05 12.37.39 2237096108759660786 water.ipg1193 37039518867773955-Jondon, J. (2010): A values-based approach to vulnerability and adaptation to climate change. Abrufbar unter: https://onlinelibrary.wiley.com/doi/full/10.1002/wcc.30 (Stand 06.02.2020) 007 248 47.1521 100 35.9229 41 70.6566 2020-02-05 10.39.29 2237036637546948485\_water.jpg233 48 63.6014 // smart xmax label 55.0806 21 2020-02-05 12.37.39 2237096110898610394 water.jpg1194 08 83 77.2406 96 66.6135 27 85.918 37039878905237816 london.jp 2020-02-05 10.39.32 2237036658939451178 water.jpg234 107 55.8376 drawString(float\_print(xmax, labels\_precision), x - x\_label\_offset, y + y\_label\_offset); )09 255 38.3176 3 60.9863 42 80.8873 2020-02-05 10.39.41 2237036738212203001\_water.jpg235 255 78.7578 37039979452527841\_london.jp 74.7691 6 56.2702 52 59.9293 37039979492527841\_london.jp 10) Avrami, E.; Mason, R.; de la Torre, M. (2000): Values in Heritage Conservation: Research Report, The Getty Conservation Institute. Los Angeles. )10 83 65.1941 138 53.2378 159 59.5377 2020-02-05 10.39.43 2237036751071910781\_water.jpg235 255 78.7578 96.972 30 2020-02-05 12.38.18 2237096434078298928 water.jpg1197 163 50.9843 22 58.1779 )11 0 51.8334 0 70.1882 0 57.6726 37040478725165117\_london.jp 2020-02-05 10.40.06 2237036944225871003\_water.jpg237 41 43.7587 2020-02-05 12 38 18 2237096434086690271 water ing1197 163 64.4259 46 45.103 49 89.4439 )12 25 86.3408 63 21.3956 240 96.1688 2020-02-05 10.40.07 2237036956408115568\_water.jpg238 255 51.0503 37040478499517391\_london.jp 11) de la Torre, M.; MacLean G.H.; Mason, R.; Myers, D. (2005): Heritage Values in Site Management: Four Case Studies, Getty Conservation Institute. Los Angeles. S. 5 59.0779 95 51.7047 170 53.2165 2020-02-05 12.38.18 2237096437081309193 water.jpg1199 60.4526 // draw legend} )13 165 75.111 41 54.6991 178 98.5401 2020-02-05 10.40.47 2237037289542782625\_water.jpg239 162 93.1651 138 24.7696 )14 106 25.4032 194 24.9412 13 7.7907 2020-02-05 10.40.52 2237037319936981624\_water.jpg240 37040478524708195 london.ii 47.5138 function draw\_dot(x, y, points\_style\_choice) { 36.4932 153 27.9855 159 8.6224 37040485168463558\_london.jp 12) O'Conner et al (2013): Social Learning Theory Parenting InterventionPromotes Attachment-Based Caregiving in YoungChildren: Randomized Clinical Trial. London. S. 101-114 )15 63 90.6714 52 80.7736 77 62.7935 2020-02-05 10.40.52 2237037319961977590\_water.jpg241 83 82.8716 3 84.7175 2020-02-05 12.39.16 2237096919813995043 water.jpg1202 )16 251 39.1513 24 68.938 33 23.9354 37040495753149462\_london.jp 2020-02-05 10.40.52 2237037325934721049 water.ipg242 80 46.0728 48 12.6578 2020-02-05 12.39.24 2237096987485239706 water.ipg1203 \* Draws a point on the graph according to the specified style. 38.6319 20 40.8544 2020-02-05 10.41.05 2237037438946269765\_water.jpg243 )17 157 46.469 31 37040606333293524\_london.jp 3704066333293524\_london.jp 13) Pye, E. (2001): Caring for the Past: Issues in Conservation for Archaeology and Museums. London. 38.1935 246 62.1944 2020-02-05 12.39.35 2237097084397694053 water.ipg1204 )18 62 66.3499 58 50.6311 30 104.265 2020-02-05 10.41.31 2237037653835258417\_water.jpg244 149 56.6516 \* @param x - x coord of point )19 145 59.3791 84 67.8857 23 31.9132 2020-02-05 10.41.31 2237037656754461304\_water.jpg245 37040754703186283 london.ip 78.3588 33 63.3086 58.3652 31 \* @param y - y coord of point )20 197 83.6706 32 76.9401 34 88.373 2020-02-05 10.41.57 2237037876042623636\_water.jpg246 37040813297603599\_london.jp 14) de la Torre, M.; MacLean G.H.; Mason, R.; Myers, D. (2005): Heritage Values in Site Management: Four Case Studies, Getty Conservation Institute. Los Angeles. S. 5 2020-02-05 12.39.42 2237097136072156998 water.jpg1207 63.2731 83 53.8882 141 112.312 )21 117 74.7364 63 60.6109 60 68.524 96.1244 •@param points\_style\_choice - style of the point, circle/rectangle/ellipse/none 37040907475819215\_london.jp 56.7139 24 104.209 2020-02-05 12.39.42 2237097136080530369 water.ipg1208 37041001017285256\_london.jp )22 53 84.4595 67 63.5613 106 111.072 2020-02-05 10.41.59 2237037890587913891 water.jpg248 143 87.1873 \*/ 2020-02-05 12.39.42 2237097136105620102 water.ipg1209 50.1718 42 39.534 31 101.690 37041006216387111\_london.jp 15) Avrami, E.; Mason, R.; de la Torre, M. (2000): Values in Heritage Conservation: Research Report, The Getty Conservation Institute. Los Angeles. )23 160 71.8267 96 81.8998 33 77.8866 2020-02-05 10.41.59 2237037890604663016 water.jpg249 213 33.6462 42  $_{90.8283}$  x = parseFloat(x). )24 199 59.3177 93 69.9262 29 69.4952 2020-02-05 10.41.59 2237037890604860881\_water.jpg250 96 37041127432280288 london.ip 49.3954 28 39.5746 23 57.2796 )25 185 64.6512 113 71.4095 30 73.6105 2020-02-05 10.41.59 2237037890613140927\_water.jpg251 176 37041203442945336\_london.jp and adaptation to climate change. Abrufbar unter: https://onlinelibrary.wiley.com/doi/full/10.1002/wcc.30 (Stand 06.02.2020) | 185 | 64.6512 | 113 | 71.4095 | 30 | 73.6105 | 35.9171 | 27 | 35.9171 | 27 | 35.9171 | 27 | 36.005 | 37.005 | 37.005 | 37.005 | 37.005 | 37.005 | 37.005 | 37.005 | 37.005 | 37.005 | 37.005 | 37.005 | 37.005 | 37.005 | 37.005 | 37.005 | 37.005 | 37.005 | 37.005 | 37.005 | 37.005 | 37.005 | 37.005 | 37.005 | 37.005 | 37.005 | 37.005 | 37.005 | 37.005 | 37.005 | 37.005 | 37.005 | 37.005 | 37.005 | 37.005 | 37.005 | 37.005 | 37.005 | 37.005 | 37.005 | 37.005 | 37.005 | 37.005 | 37.005 | 37.005 | 37.005 | 37.005 | 37.005 | 37.005 | 37.005 | 37.005 | 37.005 | 37.005 | 37.005 | 37.005 | 37.005 | 37.005 | 37.005 | 37.005 | 37.005 | 37.005 | 37.005 | 37.005 | 37.005 | 37.005 | 37.005 | 37.005 | 37.005 | 37.005 | 37.005 | 37.005 | 37.005 | 37.005 | 37.005 | 37.005 | 37.005 | 37.005 | 37.005 | 37.005 | 37.005 | 37.005 | 37.005 | 37.005 | 37.005 | 37.005 | 37.005 | 37.005 | 37.005 | 37.005 | 37.005 | 37.005 | 37.005 | 37.005 | 37.005 | 37.005 | 37.005 | 37.005 | 37.005 | 37.005 | 37.005 | 37.005 | 37.005 | 37.005 | 37.005 | 37.005 | 37.005 | 37.005 | 37.005 | 37.005 | 37.005 | 37.005 | 37.005 | 37.005 | 37.005 | 37.005 | 37.005 | 37.005 | 37.005 | 37.005 | 37.005 | 37.005 | 37.005 | 37.005 | 37.005 | 37.005 | 37.005 | 37.005 | 37.005 | 37.005 | 37.005 | 37.005 | 37.005 | 37.005 | 37.005 | 37.005 | 37.005 | 37.005 | 37.005 | 37.005 | 37.005 | 37.005 | 37.005 | 37.005 | 37.005 | 37.005 | 37.005 | 37.005 | 37.005 | 37.005 | 37.005 | 37.005 | 37.005 | 37.005 | 37.005 | 37.005 | 37.005 | 37.005 | 37.005 | 37.005 | 37.005 | 37.005 | 37.005 | 37.005 | 37.005 | 37.005 | 37.005 | 37.005 | 37.005 | 37.005 | 37.005 | 37.005 | 37.005 | 37.005 | 37.005 | 37.005 | 37.005 | 37.005 | 37.005 | 37.005 | 37.005 | 37.005 | 37.005 | 37.005 | 37.005 | 37.005 | 37.005 | 37.005 | 37.005 | 37.005 | 37.005 | 37.005 | 37.005 | 37.005 | 37.005 | 37.005 | 37.005 | 37.005 | 37.005 | 37.005 | 37.005 | 95.895 y = parseFloat(y); 28,7957 26 37,0426 2020-02-05 12.39.54 2237097238573028508 water.jpg1212 46.3981 18 if (points\_style\_choice == "Circle") { 36.2242 21 89.8784 2020-02-05 12.40.06 2237097340768905795 water.ipg1213 125 89.6552 107 60.0305 27 76.2057 37041203468153119\_london.jp 2020-02-05 10.42.27 2237038124890620302 water.ipg253 2020-02-05 12 40 15 2237097414163226248 water ing1214 88.5898 37041203476619011\_london.jp 17) (ebd.) 221 33.5937 146 39.0307 52 30.0876 2020-02-05 10.42.30 2237038155188520942 water jpg 254 234 •Draws the graph (main drawing function that calls others). 129 135 56.4013 52 40.2447 150 33.6038 2020-02-05 10.42.52 2237038339285620652\_water.jpg255 75.1051 \*/ 37.4229 23 52.5172 67.9465 37 )30 100 67.3242 240 49.4909 143 15.7088 2020-02-05 10.43.02 2237038418215761555\_water.jpg256 37041203501647164\_london.jp 71.5098 72 78.4702 59 74.8679 2020-02-05 12.41.15 2237097923274261369 water.ipg1217 last\_progress\_time = getTime(); )31 228 78.0761 4 52.7505 16 74.7274 37041213652023402\_london.jp 18) (ebd. 70.2662 120 73.7936 22 79.3208 2020-02-05 12.41.42 2237098144609505625 water.ipg1218 )32 13 41.3766 0 30.0007 0 37041243538453244\_london.jp 2020-02-05 10.44.10 2237038986560717197 water.jpg258 2020-02-05 12.41.46 2237098183120257155 water.jpg1219 78.358 33 63.2131 37041247086819078\_london.jp 19) (ebd.) )33 95 86.0383 131 90.8611 147 82.0279 2020-02-05 10.44.11 2237038997388148641\_water.jpg259 for  $(i = 1; i < lines.length; i++) {$ 61.0754 152 11.7872 )34 144 74.4462 144 73.7436 41 66.3094 2020-02-05 10.44.11 2237039001121141171\_water.jpg 260 78.4366 33 63.4839 56.0414 items = split(lines[i], "\t"); )35 32 91.0322 0 51.9507 0 55.2986 2020-02-05 10.44.24 2237039106810825071\_water.jpg261 2020-02-05 12.42.28 2237098535064368918 water.ipg1222 53.5218 188 47.2248 249 124.806 37041522024743332\_london.jp 20) Kowarik, I.; Bartz, R.; Brenck, M. (Hrsg.) (2016): Ökosystemleistungen in der Stadt - Gesundheit schützen und Lebensqualität erhöhen. Berlin, Leipzig. Abrufbar unter: )36 179 50.1546 16 61.3736 127 95.3713 •= parseFloat(items[x\_col]); y = parseFloat(items[y\_col]); 37.1082 113 52.9886 14 29.3807 2020-02-05 12.42.52 2237098738128484656 water.jpg1223 )37 200 75.1501 130 84.556 112 62.3511 37041613360061655\_london.jp 2020-02-05 10.45.11 2237039501939651512 water.jpg263 44.1916 // if more than 1 ds, find out how many if (mult\_series\_flag == 1) 2020-02-05 12.43.22 2237098983636149562 water.jpg1224 87.578 79 105.184 )38 255 64.0541 0 48.9376 0 51.1149 2020-02-05 10.45.13 2237039518867773959\_water.jpg264 37041760000012416 london.jp 37041760000012416\_london.jp https://www.ufz.de/export/data/global/190508\_TEEB\_DE\_Stadtbericht\_Langfassung.pdf (Stand: 06.02.2020) 70.5659 2020-02-05 10.45.56 2237039878905237816\_water.jpg265 ds = parseFloat(items[series\_col]) )39 254 56.4114 0 87.9858 0 51.4156 0 49.0981 0 71.6387 )40 255 65.6948 14 82.095 33 66.11 2020-02-05 10.46.08 2237039979452527841 water.jpg266 82.5176 // draw series labels to find out label name if (points\_series\_flag == 1) 2020-02-05 12.43.55 2237099264002027994 water.ing1227 32.6576 46 41.1431 14 46.3433 37041760041946558 london.jp 21) O'Brien, K.; Wolf, J. (2010): A values-based approach to vulnerability and adaptation to climate change. Abrufbar unter: https://onlinelibrary.wiley.com/doi/full/10.1002/wcc.30 (Stand 06.02.2020) )41 255 83.5881 0 68.7916 0 2020-02-05 12 44 23 2237099494519321013 water ing1228 13.5982 0 34.122 label\_name = items[series\_label\_col]; if (x\_fixed\_flag == 1) { )42 94 54.6745 182 41.2658 152 34.6646 2020-02-05 10.47.07 2237040478725165117\_water.jpg268 37041760050179618\_london.jp 2020-02-05 12.44.23 2237099496677268179 water.jpg1229 51.9147 0 35.7831 0 53.7718 )43 238 61.258 11 74.0297 42 75.6354 44.5417 xmin = x axis start; xmax = y axis start; 37041760058599320 london.ip 2020-02-05 10.47.08 2237040478499517391 water.ing269 28 41.2654 0 37041760067015403\_london.jp 22) Warburton, N. (2011): A little history of philosophy. Yale University. S. 134 )44 136 46.7847 83 36.5465 14 17.2288 2020-02-05 10.47.08 2237040478516198920\_water.jpg270 58.9976 36 24.3276 177 83.5521 )45 236 40.7604 143 80.9149 147 52.0742 2020-02-05 10.47.08 2237040478524708195\_water.jpg271 37041760075267135\_london.jp 2020-02-05 12.44.48 2237099704227696221 water.jpg1232 58.6417 32 50.0854 5 96.6595 if (y\_fixed\_flag == 1) { ymin = y\_axis\_start; ymax = y\_axis\_end; 37041760108896630\_london.jp 23) Popper, K. (2003): Die offene Gesellschaft und ihre Feinde II. Hrsg.: Kiesewetter, Hubert. Tübingen. S. 281 )46 167 79.2445 62 58.0447 28 32.8835 2020-02-05 10.47.08 2237040485168463658 water.jpg272 2020-02-05 12 44 48 2237099704244310823 water ing1233 64.9864 0 87.042 )47 255 55.2753 0 35.8215 0 2020-02-05 10.47.09 2237040495753149462 water.jpg273 2020-02-05 12.44.48 2237099704252730204 water.jpg1234 102.0045 80.3881 62 64.2291 142 61.0624 33.2513 0 48.5219 2020-02-05 10.47.23 2237040606333293524\_water.jpg274 37041986376211693\_london.jp )48 255 44.3842 0 60.6252 160 43.4582 if(polar\_flag == 1){ 37041986392942602\_london.jp 24) (ebd.) )49 40 67.856 90 43.1449 162 29.7596 2020-02-05 10.47.29 2237040663501179131\_water.jpg275 46.7228 30 31.1834 21 47.6874 •convert to polar coordinates y = (y-yymin)/(yymax-yymin); var delta = y\*360; )50 255 40.3765 0 25.0968 0 49.372 37041986409736312\_london.jp 2020-02-05 10.47.40 2237040754703186283 water.jpg276 2020-02-05 12.44.48 2237099704286313962 water.ing1237 68.1948 60 56.881 42 59.6597 )51 201 49.6544 26 60.9349 31 56.9307  $^{79.7343}$  var theta = delta\*(PI/180); 37041989026971891\_london.jp 2020-02-05 10.47.47 2237040813297603599 water.jpg277 52.6274 8 48.5472 155 64.8156 2020-02-05 12 44 48 2237099704738777002 water ing1238 )52 186 63.7395 42 51.3222 46 37042213045662110\_london.jp 2020-02-05 10.47.58 2237040907475819215 water.ipg278 179 2020-02-05 12.44.48 2237099706466779833 water.ipg1239 74.0614 10 68.5364 113 46.4568 var r = (x-xxmin)/(xxmax-xxmin); x = r\*cos(theta);)53 106 63.811 218 70.1429 151 33.1843 2020-02-05 10.48.10 2237041001017285256\_water.jpg279 220 37042479735772704 london.ip 60.0443 33 56.6273 )54 70 54.2524 85 58.6972 92 38.0201 2020-02-05 10.48.10 2237041006216387111\_water.jpg280 141 63.912 y = r\*sin(theta): 37042555592488404 london.j 69.0291 122 57.6976 130 115.846 )55 98 43.3879 144 45.3463 65 62.606 37042583847353280 london.jp. 2020-02-05 12 45 50 2237100228230472946 water.ing1242 204 63.0045 134 40.7809 18 6.1988 313 153 59.9928 36 55.8884 29 74.5687 2020-02-05 11.35.40 2237064910194243995\_london.jpg 660 51 40.9839 144 60.3432 201 36.4555 2020-02-05 12.15.07 2237084767302786568\_london.jpg 1008 170 61.5382 31 51.2773 140 68.8748 2020-02-05 14.35.24 2237155372800313428\_london.jpg 2056 139 82.2053 114 80.2082 161 64.2569 37042583855857276\_london.jpg 60.9396 137 74.5067 171 65.5923 2020-02-05 12.45.50 2237100228238856546 water.ipg1243 delta = 0;2020-02-05 14.35.24 2237155372817088529\_london.jpg 66.7143 2020-02-05 11.35.45 2237064952328308711\_london.jpg 661 254 77.697 0 87.1404 0 82.4293 2020-02-05 12.15.07 2237084769467162125\_london.jpg 1009 191 51.4727 15 22.3479 150 42.9182 2057 214 29.525 3 48.2068 42 37042586548594500 london.jpg 314 131 60.1005 26 54.111 42 2020-02-05 10.48.35 2237041203451397661 water.ipg283 112 57.7223 2020-02-05 12.45.50 2237100228247071524 water.ipg1244 82.6303 136 77.9096 170 69.497 315 231 62.7674 7 84.6412 42 62.4208 2020-02-05 11.35.59 2237065067797587994\_london.jpg 662 243 60.7446 22 53.832 15 78.9261 2020-02-05 12.15.33 2237084985634774655\_london.jpg 1010 255 83.9351 0 61.0782 0 53.9861 2020-02-05 14.35.24 2237155374519953563 london.jpg 2058 214 38.1498 7 58.1628 34 64.8479 2020-02-05 10.48.35 2237041203468153119 water.jpg284 135 51.5176 }

2059 2 70.9314 0 42.6647 0 41.9636 2020-02-05 10.48.35 2237041203476619011\_water.jpg285 115 56.7406

2020-02-05 10.48.35 2237041203501647164 water.jpg287 193 69.0741

100.8694 0 108.102 2020-02-05 10.48.39 2237041243538453244\_water.jpg289 237 41.2293 147 81.846 147 52.988530-02-05 11.31.26 2237062779873245755\_water.jpg619 238 71.735 54 52.8375 15 60.572

2062 54 49.6237 48 28.1033 143 40.3757 2020-02-05 10.48.35 2237041213652023402\_water.jpg288 162 56.0689 17 42.7705 150 65.290290-02-05 12.06.38 2237080494499264188\_water.jpg924 103 73.2931 140 64.3941 170 79.4137 2020-02-05 12.45.52 2237100247145449018\_water.jpg1249 235

2060 187 83.1029 64 46.8171 24 41.1918 2020-02-05 10.48.35 2237041203484854627\_water.jpg286 187

2061 41 60.1817 170 52.2831 219 42.3678

2020-02-05 14.35.25 2237155384207780140 london.jpg

2020-02-05 14.35.34 2237155462180792308 london.jpg

2020-02-05 14.35.43 2237155534481155383 london.jpg

41.2922

57.702 110 76.2646 171 64.8147

66.2599 117 71.7365 170 73.2678

69.7048 139 65.1708 171 75.1372

2020-02-05 12.06.41 2237080521308390350\_water.jpg926 165 60.0599 20 42.6683 19 76.6296 2020-02-05 12.46.37 2237100623566875052\_water.jpg1250 161

2020-02-05 12.45.52 2237100239318680380 water.ipg1247 229

73.2931 140 64.3941 170 79.4137 2020-02-05 12.45.52 2237100239335698510\_water.jpg1248 210

37042611554506469 london.jpg

37042736434081572 london.jpg

37042738707365744 london.jpg

37042762885247139\_london.jpg

37042762901961481 london.jpg

37042762902047768\_london.jpg

316 235 60.5538 179 43.2292 24

55.7961 179 44.1435 24

30.6651 2020-02-05 11.35.59 2237065069335376812\_london.jpg 663 88 90.5488 18 73.3099 155 90.4079 2020-02-05 12.15.33 2237084985651431338\_london.jpg 1011 255 84.0495 0 60.7615 0

77.9188 0 82.2094 0 69.9833 2020-02-05 11.36.50 2237065500618018017\_london.jpg 665 43 75.2775 179 90.1063 144 40.1091 2020-02-05 12.15.33 2237084985684972390\_london.jpg 1013 104 70.1766 46 62.4307 166 87.463

44.3675 2020-02-05 11.36.15 2237065206127115479\_london.jpg 664 233 65.7112 64 77.8779 144 75.0059 2020-02-05 12.15.33 2237084985668291962\_london.jpg 1012 217 57.8844 116 69.3832 18 55.3706

80.748 0 96.878 0 57.0733 2020-02-05 11.37.07 2237065641410835277\_london.jpg 666 54 47.1108 75 48.3596 28 41.2312 2020-02-05 12.15.33 2237084985685161439\_london.jpg 1014 250 76.8881 2 76.753 16 55.3934 2020-02-05 14.35.59 2237155669462238840\_london.jpg

89.8774 0 80.967 0 70.646 2020-02-05 11.37.07 2237065641410931474\_london.jpg 667 87 64.4802 112 73.4463 52 33.4518 2020-02-05 12.15.33 2237084985693534861\_london.jpg 1015 255 95.2451 0 35.3724 0 27.634 2020-02-05 14.36.07 2237155732334159578\_london.jpg